

Artículo original/Original article/Artigo original

Evidencias psicométricas preliminares de la Escala de Adicción a Redes Sociales de Bergen en jóvenes y adultos

Preliminary psychometric evidence of the Bergen Social Media Addiction Scale in young people and adults

Evidências psicométricas preliminares da Escala de Dependência de Redes Sociais de Bergen em jovens e adultos

José André Vidal Arias¹

<https://orcid.org/0009-0008-3502-5079>

Elvis Joel Arcata Maquera²

<https://orcid.org/0000-0002-4276-7539>

Resumen

Objetivo: Evaluar las evidencias psicométricas preliminares de la Escala de Adicción a las Redes Sociales de Bergen. **Material y métodos:** La presente investigación adopta un enfoque cuantitativo de tipo básico con un nivel descriptivo y un diseño instrumental. La muestra estuvo compuesta por 100 participantes con edades comprendidas entre los 18 y los 40 años. El instrumento utilizado consta de 6 ítems y se empleó para evaluar estadísticamente los ítems, así como para analizar las evidencias de estructura interna mediante un Análisis Factorial Confirmatorio (AFC) y la consistencia interna a través de los coeficientes alfa de Cronbach y omega de McDonald. **Resultados:** En los resultados se pudo constatar que el cuestionario muestra índices de ajuste adecuados, donde: $X^2/df=1,11$, $RMSEA=0,034$, $SRMR=0,049$, $NFI=0,981$, $CFI=0,998$, $TLI=0,997$ y $PNFI=0,589$. La confiabilidad alcanzada fue de $\alpha=0,843$ y $\omega=0,845$. **Conclusión:** Los hallazgos del presente estudio sugieren que la Escala de Adicción a las Redes Sociales de Bergen es un instrumento válido y fiable para medir comportamientos adictivos en el ámbito digital.

Palabras clave: psicometría, adicción a la tecnología, red social, análisis factorial

¹ Universidad Nacional Jorge Basadre Grohmann. Tacna, Perú

² Universidad Privada de Tacna. Tacna, Perú

Abstract

Objective: To evaluate preliminary psychometric evidence of the Bergen Social Network Addiction Scale. **Material and methods:** This research adopts a basic quantitative approach with a descriptive level and an instrumental design. The sample included 100 participants aged between 18 and 40 years. The instrument used consists of 6 items and was used to statistically evaluate the items, as well as to analyze evidence of internal structure through Confirmatory Factor Analysis (CFA) and internal consistency through Cronbach's alpha and McDonald's omega coefficients. **Results:** The results showed that the questionnaire shows adequate fit indices, where: $X^2/gl = 1.11$, $RMSEA = 0.034$, $SRMR = 0.049$, $NFI = 0.981$, $CFI = 0.998$, $TLI = 0.997$ and $PNFI = 0.589$. The reliability achieved was $\alpha = 0.943$ y $\omega = 0.845$. **Conclusion:** The findings of the present study suggest that the Bergen Social Media Addiction Scale is a valid and reliable instrument for measuring addictive behaviors in the digital domain.

Keywords: psychometrics, technology addiction, social media, factor analysis, statistical

Resumo

Objetivo: Avaliar a evidência psicométrica preliminar da Escala de Dependência de Redes Sociais de Bergen. **Material e métodos:** Esta pesquisa adota uma abordagem quantitativa básica com um nível descritivo e um projeto instrumental. A amostra foi composta por 100 participantes com idades entre 18 e 40 anos. O instrumento utilizado consiste em 6 itens e foi usado para avaliar estatisticamente os itens, bem como para analisar evidências de estrutura interna por meio de uma Análise Fatorial Confirmatória (CFA) e consistência interna por meio dos coeficientes alfa de Cronbach e ômega de McDonald. **Resultados:** Os resultados mostraram que o questionário apresentou índices de ajuste adequados, sendo: $X^2/gl = 1,11$, $RMSEA = 0,034$, $SRMR = 0,049$, $NFI = 0,981$, $CFI = 0,998$, $TLI = 0,997$ e $PNFI = 0,589$. A confiabilidade obtida foi $\alpha = 0,843$ e $\omega = 0,845$. **Conclusão:** Os resultados do presente estudo sugerem que a Escala de Dependência de Redes Sociais de Bergen é um instrumento válido e confiável para medir comportamentos de dependência no domínio digital.

Palavras-chave: psicometria, vício em tecnologia, rede social, análise fatorial

Introducción

La era digital y globalizada ha transformado radicalmente la forma en que las personas interactúan, comparten información y construyen sus identidades en el ciberespacio.¹ Adicionalmente, las plataformas digitales dieron lugar a las redes sociales, que son espacios virtuales donde individuos de todo el mundo pueden conectarse, compartir ideas, experiencias y establecer vínculos sociales sin las limitaciones físicas de tiempo o espacio. Además, trascienden barreras geográficas, culturales y lingüísticas.²

Desde la aparición de los primeros sitios web de redes sociales, estas plataformas han evolucionado de ser simples herramientas de conexión a complejos ecosistemas digitales que han redefinido la

naturaleza misma de la comunicación humana.³ No obstante, a pesar de sus beneficios evidentes en términos de conectividad e interacción, existe una creciente preocupación sobre su impacto en la salud mental, la privacidad y la autenticidad de la información.⁴⁻⁶ En particular, se plantea la posibilidad de desarrollar comportamientos adictivos asociados con su uso constante.

La adicción a las redes sociales (ARS) se manifiesta como una dependencia excesiva y descontrolada hacia el uso de plataformas digitales diseñadas para la interacción social. Esta condición implica un patrón de comportamiento compulsivo, donde los individuos se sienten impulsados a participar de manera continua en actividades en línea como revisar perfiles, publicar contenido o participar en interacciones digitales, a menudo a expensas de otros aspectos significativos de sus vidas.^{7,8}

Un componente esencial de la ARS es la interferencia significativa en las responsabilidades cotidianas como el trabajo, los estudios, las relaciones familiares y las actividades sociales fuera de la esfera digital. Por lo que han surgido interrogantes sobre los posibles impactos tanto psicológicos como sociales en individuos de diversas edades, géneros y contextos.⁹⁻¹¹

De acuerdo con la literatura, se han desarrollado instrumentos psicométricos para medir comportamientos adictivos a las redes sociales, tal es el caso de la Escala de Adicción a las Redes Sociales de Bergen (BSMAS por sus siglas en inglés), que es un breve cuestionario de 6 ítems y fue adaptado por Andreassen et al.¹² a partir de la escala de adicción a Facebook de Bergen.¹³ Diversos estudios en diferentes países han estudiado sus propiedades psicométricas, tales como Corea del Sur, China, Francia, Hungría, Italia, Irán, Malasia y Perú.¹⁴⁻²¹ Además, estas investigaciones han indicado que el impacto de su uso en las relaciones sociales puede variar según los diferentes contextos e individuos. Por lo tanto, el objetivo principal del estudio fue identificar las propiedades psicométricas preliminares de la Escala de Adicción a las Redes Sociales de Bergen en jóvenes y adultos de la ciudad de Tacna, en el año 2024. Ya que será de suma importancia, contar con instrumentos validados para evaluar patrones de comportamiento adictivo en contextos específicos.

Material y métodos

El estudio presentó un enfoque cuantitativo de tipo básico con un nivel descriptivo y se enmarcó en un diseño instrumental, según las definiciones proporcionadas por Montero y León²² y Ato, Lopez y Benavente.²³ Este tipo de investigación se centraba en el diseño, análisis o adaptación de las propiedades psicométricas de un instrumento específico, con el propósito no solo de comprender sus características fundamentales, sino también de mejorar su fiabilidad y validez para su aplicación en el estudio en cuestión.

La muestra estuvo conformada por 100 participantes, abarcando jóvenes y adultos con edades comprendidas entre 18 y 40 años, representando ambos géneros. El instrumento utilizado fue un cuestionario denominado Bergen Social Media Addiction Scale (BSMAS), que constaba de 6 ítems medidos mediante una escala Likert de 1 a 5.¹²

El procedimiento comenzó con la recopilación de información relacionada con la variable y la población de estudio, seguida de la recolección de datos a través de un formulario de Google que incluía los 6 ítems del instrumento y los datos sociodemográficos. Los datos recopilados se trasladaron luego a una matriz en Excel para su organización y análisis posterior.

Para el análisis de datos, se emplearon Microsoft Excel 2019, Jamovi 2.4.14 y JASP 0.18.3. Se evaluó el comportamiento de los ítems, utilizando medidas de tendencia central y dispersión, asegurando que ningún ítem tuviera más del 80% de una misma respuesta. Se evaluó la asimetría y la curtosis, que debían mantenerse dentro del rango de +/- 1,5, y se verificó que la correlación entre ítems no excediera 0,90. Asimismo, se consideraron apropiadas las comunialidades que superaran 0,40 y la validez del índice de homogeneidad corregida se estableció en valores superiores a 0,30, según las pautas de Lloret.²⁴

Para evaluar la validez de la estructura interna, se llevó a cabo un análisis factorial confirmatorio (AFC), utilizando modelado de ecuaciones estructurales (SEM) con el estimador ULS, adecuado para muestras pequeñas y variables categóricas. Se consideraron válidos valores de $X^2/g1 < 3$, $NFI > 0,90$, $GFI \geq 0,90$, $AGFI \geq 0,90$, $RMSEA \leq 0,05$, $SRMR \leq 0,08$, $CFI \geq 0,95$, y $TLI \geq 0,95$, según las pautas de Escobedo, Hernández, Estebané y Martínez.²⁵ Además, se evaluó la consistencia interna, considerando valores moderados a partir de 0,40 y altos a partir de 0,70.

Resultados

Tabla 1
Análisis de los ítems de la Escala de Adicción a Redes Sociales de Bergen

Factor	Ítems	%					M	DE	g1	g2	IHC	h ²	Si se elimina el ítem	
		1	2	3	4	5							α	Ω
Escala de Adicción a las Redes Sociales	Ítem 1	12	16	33	33	6	3,05	1,104	-0,376	-0,604	0,625	0,544	0,817	0,825
	Ítem 2	9	25	32	26	8	2,99	1,096	-0,0268	-0,695	0,607	0,503	0,820	0,827
	Ítem 3	15	26	27	23	9	2,85	1,201	0,0808	-0,916	0,714	0,689	0,798	0,808
	Ítem 4	14	33	35	15	3	2,60	1,005	0,207	-0,421	0,677	0,600	0,808	0,819
	Ítem 5	32	38	20	9	1	2,09	0,986	0,656	-0,247	0,640	0,576	0,815	0,822
	Ítem 6	20	21	24	27	8	2,82	1,258	-0,0247	-1,12	0,502	0,358	0,845	0,846

En la tabla 1 se presenta un análisis detallado de los ítems que conforman la Escala de Adicción a las Redes Sociales. Respecto a la distribución de respuestas, se observaron porcentajes variados, oscilando entre 1% y 38%, sin alcanzar el umbral del 80%, lo que sugiere una ausencia de sesgo, deseabilidad social o aquiescencia en las respuestas proporcionadas por los participantes. Por otro lado, las medias fluctuaron entre 2,09 y 3,05 y las desviaciones estándar entre 0,986 y 1,258, indicando una dispersión de datos relativamente baja. Además, tanto la asimetría (g_1) como la curtosis (g_2) mostraron valores cercanos a cero ($\pm 1,5$), lo que sugiere una distribución univariada normal de las respuestas. En relación con el índice de homogeneidad corregido (IHC), se registran valores superiores a 0,3, lo que indica que los ítems evaluados miden un mismo constructo. De manera similar, las comunalidades (h^2) superaron el umbral de 0,3, evidenciando una correlación significativa entre los ítems.

Tabla 2

Matriz de correlaciones policóricas de los ítems de la Escala de Adicción a Redes Sociales de Bergen

Ítem	Correlación Policórica					
	Ítem 1	Ítem 2	Ítem 3	Ítem 4	Ítem 5	Ítem 6
Ítem 1	1,000					
Ítem 2	0,554	1,000				
Ítem 3	0,562	0,670	1,000			
Ítem 4	0,644	0,477	0,576	1,000		
Ítem 5	0,529	0,606	0,657	0,541	1,000	
Ítem 6	0,419	0,282	0,515	0,614	0,436	1,000

En la tabla 2 se detallan las correlaciones policóricas entre los ítems de la Escala de Adicción a Redes Sociales, las cuales muestran una coherencia significativa entre sí.

Figura 1

Modelo gráfico gaussiano de las correlaciones policóricas de los ítems de la Escala de Adicción a Redes Sociales de Bergen

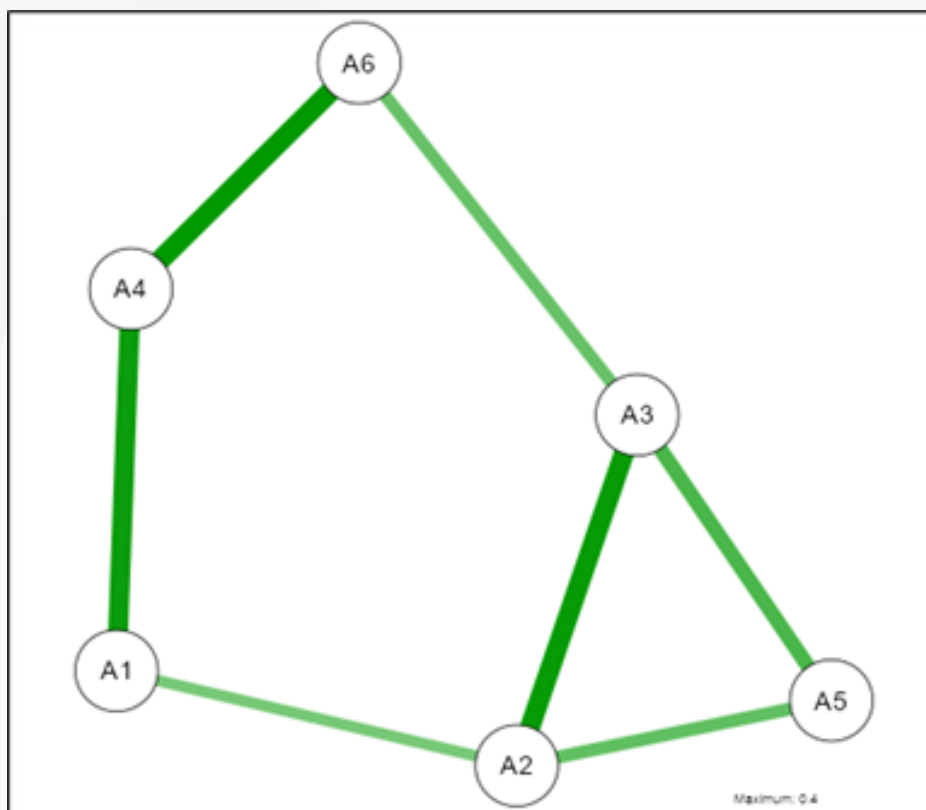


Tabla 3

Análisis factorial confirmatorio de la Escala de Adicción a Redes Sociales de Bergen

Medidas de ajuste	Ajuste absoluto				Ajuste incremental		Ajuste de parsimonia	Coeficiente de Mardia	Estimador
	X ² /gl	RMSEA	SRMR	NFI	CFI	TLI	PNFI		
Modelo 1	1,11	0,034	0,049	0,981	0,998	0,997	0,589	53,55	ULS

En la tabla 3 se muestran los resultados obtenidos del AFC del modelo 1 (original) realizado con el estimador ULS debido a que la muestra es pequeña (menor a 200) y se trata de una variable ordinal, El coeficiente de Mardia tuvo un resultado menor a 70, lo cual indica una normalidad multivariada. Los índices de ajuste cumplen con los criterios establecidos.

Tabla 4
Cargas factoriales del modelo 1 (original)

Modelo 1 (original)		
Factor	Ítem	λ
Escala de Adicción a Redes Sociales de Bergen	ítem 1	0,687
	ítem 2	0,681
	ítem 3	0,798
	ítem 4	0,740
	ítem 5	0,710
	ítem 6	0,546

En la tabla 4 se exponen las cargas (λ) de cada ítem en relación con el constructo. Se destacan valores favorables que superan el umbral de 0,3, variando entre 0,546 y 0,798.

Figura 2
Diagrama del análisis factorial confirmatorio del modelo 1 (original)

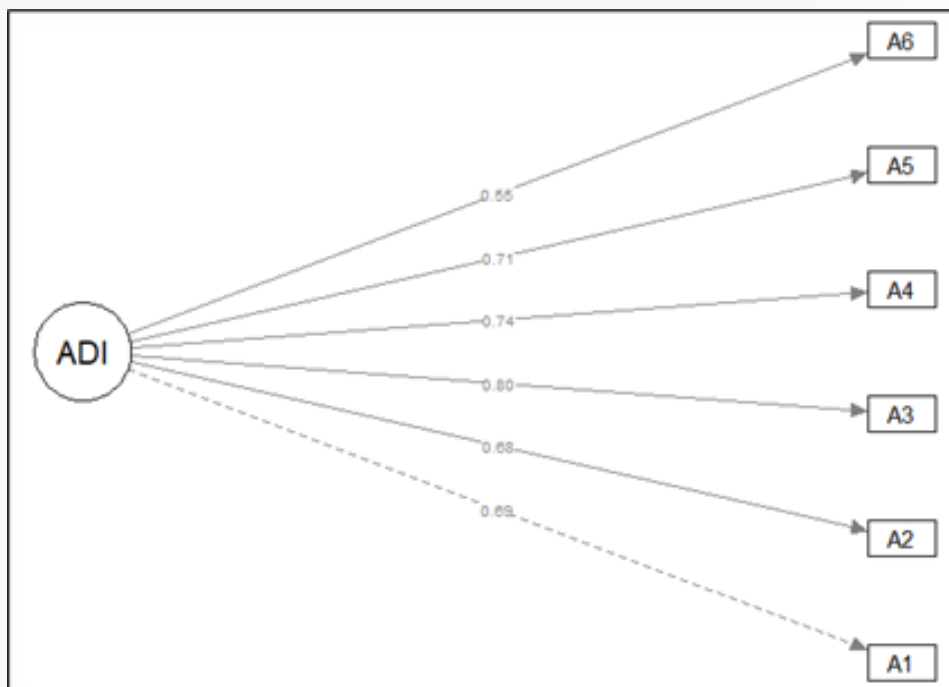


Tabla 5

Análisis de consistencia interna de la Escala de Adicción a Redes Sociales de Bergen

	alfa de Cronbach	omega de McDonald
Escala de Adicción a Redes Sociales	0,843	0,845

En la tabla 5 se visualizan los coeficientes de fiabilidad altos, los cuales han superado el umbral de 0,8, destacándose un coeficiente alfa de Cronbach de 0,843 y un coeficiente omega de McDonald de 0,845.

Discusión

El estudio tuvo como objetivo evaluar las propiedades psicométricas preliminares de la Escala de Adicción a Redes Sociales de Bergen en jóvenes y adultos de la ciudad de Tacna. Similar a cuatro investigaciones, se encontró una estructura unidimensional con los seis componentes (prominencia, tolerancia, modificación del estado de ánimo, recaída, abstinencia, conflicto).^{12,14,17,18} Referente a las pruebas derivadas del análisis de ítems, exhibieron valores apropiados de asimetría (dentro del rango de $\pm 1,5$, con valores entre $-3,776$ y $0,656$), curtosis (dentro del rango de $\pm 1,5$, con valores entre $-1,12$ y $-0,246$), índice de homogeneidad corregido (superiores a $0,30$; oscilando entre $0,502$ del ítem 6 y $0,714$ del ítem 3), comunalidades (superiores a $0,30$; oscilando entre $0,358$ del ítem 6 y $0,689$ del ítem 3) y valor $p < 0,01$. Estos resultados se ven asemejados con Shin,²¹ quienes utilizaron los valores de asimetría y curtosis para evaluar la normalidad de los datos. De manera similar, Tung et al.¹⁵ demostraron valores de asimetría (que oscilan entre $-0,03$ y $0,41$ y curtosis (oscilando entre $-0,95$ y $-0,62$), Asimismo, Copez-Lonzoy et al.¹⁴ encontraron valores de asimetría (que oscilan entre $0,550$ y $0,771$), curtosis (oscilando entre $-0,414$ y $-0,099$) y comunalidades superiores a $0,30$ (entre $0,458$ y $0,681$). Demostrando de este modo la distribución normal de los ítems.

Para evaluar el ajuste del modelo se realizaron dos pruebas psicométricas. Por un lado, para confirmar la confiabilidad de la consistencia interna, se utilizaron α de Cronbach y el valor de ω de McDonald con la finalidad de determinar cómo los ítems se adherían entre sí; donde valores de $0,7$ o superiores ($\alpha=0,843$; $\omega=0,845$) se consideraron aceptables. Al comparar estos resultados con investigaciones previas, se observan similitudes con los hallazgos de Yue et al. ($\alpha=0,822$), Rouleau et al. ($\alpha=0,84$), Bányai et al. ($\alpha=0,85$), Tung et al. ($\alpha=0,86$; $\omega=0,91$) y Copez-Lonzoy et al. ($\alpha=0,863$; $\omega=0,864$).^{14,15,18-20} En consecuencia, el instrumento demuestra una sólida confiabilidad, respaldando el modelo de distribución de un solo factor.

Por otro lado, para el análisis de validez de constructo se realizó un análisis factorial confirmatorio (AFC), a través de SEM. Se utilizó una serie de parámetros que evalúan la bondad de ajuste, tales como la prueba de chi-cuadrado (χ^2), grado de libertad (df), la relación de df a χ^2 (χ^2/df), el error cuadrático medio de aproximación (RMSEA) y el residuo

cuadrático medio estandarizado (SRMR), con un ajuste satisfactorio, indicado por un valor $<0,05$ y $<0,08$, respectivamente. También, se analizaron el índice de ajuste normalizado (NFI), el índice de ajuste comparativo (CFI), índices de Tucker-Lewis (TLI) y el Índice de Medidas Ajustadas por Parsimonia, con valores de corte superiores a 0,9 o 0,95, lo que sugiere un nivel aceptable. Para el estudio, se exhibieron índices de ajuste adecuados: $\chi^2/g1=1,12$; RMSEA=0,034; SRMR=0,049; NFI=0,981; CFI=0,998; TLI=0,997; PNFI=0,589. Estos valores se asemejan a las investigaciones de Shin, [CFI=0,974; TLI=0,956; RMSEA=0,077]; Yue et al. [RMSEA=0,055; CFI=0,994; SRMR=0,018]; Rouleau et al. [CFI=0,98; TLI=0,96; RMSEA=0,07; y SRMR=0,04]; Bányai et al. [CFI=0,950; TLI=0,917; RMSEA=0,073; SRMR=0,034]; Lin et al. [CFI=0,993; TLI=0,989; RMSEA=0,057; SRMR=0,039]; Tung et al. [CFI=0,996; TLI=0,994; RMSEA=0,039; y SRMR=0,045]; Copez-Lonzoy et al. [CFI=0,994, TLI=0,990, SRMR=0,032, RMSEA=0,061], quienes mostraron que el ajuste general del modelo unidimensional fue aceptable.^{14-16,18-21} A excepción de Monacis et al.,¹⁷ aunque sus valores de ajuste eran adecuados, pero el valor de RMSEA era alto; por lo tanto, agregaron una ruta de covarianza entre los ítems 1 y 2. Tras realizar un segundo AFC, los índices mostraron un mejor grado de ajuste [RMSEA=0,055; CFI=0,99; SRMR=0,02].

Por otra parte, es importante destacar que, a pesar de la elección del estimador más apropiado (ULS), los resultados exhibieron una tendencia hacia la sobreestimación, posiblemente influida por el tamaño de la muestra, ya que las siguientes investigaciones utilizaron muestras con mayor representatividad: para estudiantes universitarios $n=401$, 1120, 386, y 650.^{14,15,20,21} En relación con adolescentes de educación secundaria fueron $n=5961$, 734, y 2676.¹⁶⁻¹⁸ En otra línea, la muestra total de 247 adolescentes, donde $n=123$ eran pacientes psiquiátricos hospitalizados, mientras que $n=124$ fueron de escuelas secundarias locales.¹⁹ No obstante, los valores de las cargas factoriales (0,546 y 0,798) siguieron patrones similares con Monacis et al., donde los pesos oscilaron entre (0,46 y 0,86); Yue et al. (0,637 y 0,753); Bányai et al. (0,598 y 0,814); Tung et al. (0,68-0,76); Rouleau et al. (0,558 (Ítem 2) - 0,798 (Ítem 4)).^{15,17-20} Mientras que, Copez-Lonzoy et al. indicaron que todos los ítems del instrumento presentaron pesos factoriales altos ($\lambda >0,60$).¹⁴

Finalmente, se concluye que los hallazgos del presente estudio sugieren que la Escala de Adicción a las Redes Sociales de Bergen es un instrumento válido y fiable para medir comportamientos adictivos en el ámbito digital. Se sugiere realizar investigaciones utilizando muestras más representativas y diversos grupos poblacionales. Esto permitirá evitar sesgos en los datos y precisar de manera más adecuada los hallazgos obtenidos, así como, explorar mejor la relación entre la edad y la adicción a las redes sociales.

Conflicto de intereses

Los autores refieren que no existe conflicto de intereses.

Contribución de autoría

JAVA: recolección y procesamiento de la data, aspectos metodológicos, análisis estadístico e interpretación de resultados.

EJAM: recopilación de información de la variable, recolección y procesamiento de la data, redacción y análisis de la discusión y conclusiones.

Referencias

1. Hatamleh IHM, Safori AO, Habes M, Tahat O, Ahmad AK, Abdallah RAQ, et al. Trust in Social Media: Enhancing Social Relationships, Soc Sci [Internet]. 2023 [citado 20 feb 2024]; 12(7):416. Disponible en: <https://www.mdpi.com/2076-0760/12/7/416/htm>
2. Zaw HT, Zaw HT. The Impact of Social Media on Cultural Adaptation Process: Study on Chinese Government Scholarship Students, Advances in Journalism and Communication [Internet]. 2018 [citado 20 feb 2024]; 6(3):75-89. Disponible en: <http://www.scirp.org/journal/PaperInformation.aspx?PaperID=87316>
3. Aichner T, Grünfelder M, Maurer O, Jegeni D. Twenty-Five Years of Social Media: A Review of Social Media Applications and Definitions from 1994 to 2019, Cyberpsychol Behav Soc Netw [Internet]. 2021 [citado 20 feb 2024]; 24(4):215-22. Disponible en: <https://www.liebertpub.com/doi/10.1089/cyber.2020.0134>
4. Ahmed JO. Social media psychology and mental health, Middle East Current Psychiatry [Internet]. 2023 [citado 20 feb 2024]; 30(1):1-6. Disponible en: <https://mecp.springeropen.com/articles/10.1186/s43045-023-00362-w>
5. Dhiman DrB. Ethical Issues and Challenges in Social Media: A Current Scenario, SSRN Electronic Journal [Internet]. 2023 [citado 20 feb 2024]. Disponible en: <https://papers.ssrn.com/abstract=4406610>
6. Liu Y, Tse WK, Kwok PY, Chiu YH, Liu Y, Kwan Tse W et al. Impact of Social Media Behavior on Privacy Information Security Based on Analytic Hierarchy Process, Information [Internet]. 2022 [citado 20 feb 2024]; 13(6):280. Disponible en: <https://www.mdpi.com/2078-2489/13/6/280/htm>
7. Aydin S, Koçak O, Shaw TA, Buber B, Akpınar EZ, Younis MZ. Investigation of the Effect of Social Media Addiction on Adults with Depression, Healthcare [Internet]. 2021 [citado 20 feb 2024]; 9(4):450. Disponible en: <https://www.mdpi.com/2227-9032/9/4/450/htm>
8. Cheng C, Ebrahimi O V, Luk JW. Heterogeneity of Prevalence of Social Media Addiction Across Multiple Classification Schemes: Latent Profile Analysis, J Med Internet Res [Internet]. 2022 [citado 20 feb 2024]; 24(1). Disponible en: <https://www.jmir.org/2022/1/e27000>

9. Tullett-Prado D, Doley JR, Zarate D, Gomez R, Stavropoulos V. Conceptualising social media addiction: a longitudinal network analysis of social media addiction symptoms and their relationships with psychological distress in a community sample of adults, *BMC Psychiatry* [Internet]. 2023 [citado 20 feb 2024]; 23(1):1-27. Disponible en: <https://bmcp psychiatry.biomedcentral.com/articles/10.1186/s12888-023-04985-5>
10. Sümen A, Evgin D. Social Media Addiction in High School Students: A Cross-Sectional Study Examining Its Relationship with Sleep Quality and Psychological Problems, *Child Indic Res* [Internet]. 2021 [citado 20 feb 2024]; 14(6):2265-83. Disponible en: <https://www.ncbi.nlm.nih.gov/pmc/articles/PMC8329411>
11. Topino E, Gori A, Jimeno MV, Ortega B, Cacioppo M. The relationship between social media addiction, fear of missing out and family functioning: a structural equation mediation model, *BMC Psychol*, 2023 Dec 1;11(1)
12. Andreassen CS, Billieux J, Griffiths MD, Kuss DJ, Demetrovics Z, Mazzoni E, et al. The relationship between addictive use of social media and video games and symptoms of psychiatric disorders: A large-scale cross-sectional study, *Psychology of addictive behaviors* [Internet]. 2016 [citado 20 feb 2024]; 30(2):252–62. Disponible en: <https://pubmed.ncbi.nlm.nih.gov/26999354/>
13. Andreassen CS, Torbjørn T, Brunborg GS, Pallesen S. Development of a Facebook Addiction Scale, *Psychol Rep* [Internet]. 2012 [citado 20 feb 2024]; 110(2):501-17. Disponible en: <https://pubmed.ncbi.nlm.nih.gov/22662404/>
14. Copez-Lonzoy A, Vallejos-Flores M, Capa-Luque W, Salas-Blas E, Montero Doig AM, Dias PC, et al. Adaptation of the Bergen Social Media Addiction Scale (BSMAS) in Spanish, *Acta Psychol (Amst)*, 2023; 241:104072,
15. Tung SEH, Gan WY, Chen JS, Ruckwongpatr K, Pramukti I, Nadhiroh SR, et al. Internet-Related Instruments (Bergen Social Media Addiction Scale, Smartphone Application-Based Addiction Scale, Internet Gaming Disorder Scale-Short Form, and Nomophobia Questionnaire) and Their Associations with Distress among Malaysian University Students, *Healthcare (Basel)* [Internet]. 2022 [citado 20 feb 2024]; 10(8). Disponible en: <https://pubmed.ncbi.nlm.nih.gov/36011105/>
16. Lin CY, Broström A, Nilsen P, Griffiths MD, Pakpour AH. Psychometric validation of the Persian bergen social media addiction scale using classic test theory and Rasch models, *J Behav Addict*, 2017; 6(4):620-9,
17. Monacis L, De Palo V, Griffiths MD, Sinatra M. Social networking addiction, attachment style, and validation of the Italian version of the Bergen Social Media Addiction Scale, *J Behav Addict*, 2017; 6(2):178-86,
18. Bányai F, Zsila Á, Király O, Maraz A, Elekes Z, Griffiths MD, et al. Problematic Social Media Use: Results from a Large-Scale Nationally Representative Adolescent Sample, *PLoS One* [Internet]. 2017 [citado 20 feb 2024]; 12(1). Disponible en: <https://journals.plos.org/plosone/article?id=10.1371/journal.pone.0169839>

19. Rouleau RD, Beauregard C, Beaudry V. A rise in social media use in adolescents during the COVID-19 pandemic: the French validation of the Bergen Social Media Addiction Scale in a Canadian cohort, *BMC Psychol* [Internet]. 2023 [citado 20 feb 2024]; 11(1):1-8. Disponible en: <https://bmcpyschology.biomedcentral.com/articles/10.1186/s40359-023-01141-2>
20. Yue H, Zhang X, Cheng X, Liu B, Bao H. Measurement Invariance of the Bergen Social Media Addiction Scale Across Genders, *Front Psychol*, 21 jun 2022; 13.
21. Shin NY. Psychometric Properties of the Bergen Social Media Addiction Scale in Korean Young Adults, *Psychiatry Investig* [Internet]. 2022 [citado 20 feb 2024]; 19(5):356.
22. Montero I, León OG. Sistema de clasificación del método en los informes de investigación en Psicología, *International Journal of Clinical and Health Psychology* [Internet]. 2005 [citado 20 feb 2024]; 5(1):115-27. Disponible en: <https://www.redalyc.org/pdf/337/33701007.pdf>
23. Ato M, López JJ, Benavente A. Un sistema de clasificación de los diseños de investigación en psicología, *Anales de Psicología* [Internet]. 2013 [citado 20 feb 2024]; 29(3):1038-59. Disponible en: https://scielo.isciii.es/scielo.php?script=sci_arttext&pid=S0212-97282013000300043
24. Lloret-Segura S, Ferreres-Traver A, Hernández-Baeza A, Tomás-Marco I. El análisis factorial exploratorio de los ítems: una guía práctica, revisada y actualizada, *Anales de Psicología* [Internet]. 2014 [citado 20 feb 2024]; 30(3):1151-69. Disponible en: <https://revistas.um.es/analesps/article/view/analesps.30.3.199361>
25. Escobedo Portillo MT, Hernández Gómez JA, Estebané Ortega V, Martínez Moreno G. Structural equation modeling: Features, phases, construction, implementation and results, *Ciencia & trabajo* [Internet]. 2016 [citado 20 feb 2024]; 18(55):16-22. Disponible en: https://www.scielo.cl/scielo.php?script=sci_arttext&pid=S0718-24492016000100004

Correspondencia

joseandrevidalarias@gmail.com

Fecha de recepción: **23/2/2024**

Fecha de aceptación: **4/3/2024**